

東京都立大学 正会員 ○野上 邦栄  
東京都立大学 正会員 伊藤 文人

### 1. まえがき

薄肉断面部材の有限変位理論に関しては、1970年代に入って多くの研究が報じられており。<sup>1)~4)</sup>これらの研究は、理論展開において同じ仮定を用いているにちがわらず計算された変位行列に注目して見ると多少相違点がある。この相違の主な原因是、変位行列の誘導法の差にあるものと思われるが研究者としてこの違いは気になるところである。

ここでは、剛体の力学を用いられている Euler の角<sup>5)</sup>を利用して座標変換を行ない独自に変位行列を誘導し検討を行なっている。

### 2. 座標変換

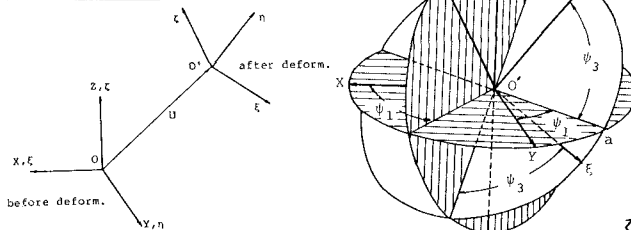
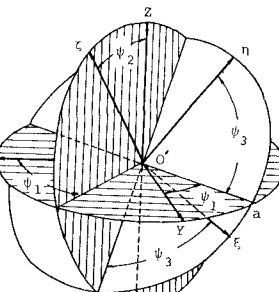


Fig. 1 Coordinate systems



いま、薄肉部材の断面図心を原点  $O'$  とし、部材軸方向に  $z$  軸を、断面に含まれる方向に  $x$  軸、 $y$  軸を持つ直交右手系座標を空間固定座標系  $(Oxyz)$  とする。変形後の部材に固定した座標系を局所座標系  $(O'xyz')$  と表わし、変形前においては空間固定座標系と局所座標系は一致しているものとする。(Fig. 1)

変形にともない、局所座標系の原点  $O'$  が空間固定座標系に対して  $U = (U_0, V_0, W_0)$  だけ並進変位し、同時に部材軸の回転度数  $\psi = (\psi_1, \psi_2, \psi_3)$  が生じたものとする。ここで回転度数  $\psi$  は Fig. 2 のような剛体の力学の Euler の角を利用すること。この時、局所座標系における任意点  $(x, y, z)$  とその点の空間固定座標系における位置  $(X, Y, Z)$  との関係は次式のように示される。

$$\begin{pmatrix} X \\ Y \\ Z \end{pmatrix} = \begin{pmatrix} U_0 \\ V_0 \\ W_0 \end{pmatrix} + \begin{pmatrix} R_{11}, R_{12}, R_{13} \\ R_{21}, R_{22}, R_{23} \\ R_{31}, R_{32}, R_{33} \end{pmatrix} \begin{pmatrix} \xi \\ \eta \\ \zeta \end{pmatrix} \quad (1)$$

ここで

$$\left. \begin{aligned} R_{11} &= \cos \psi_1 \cos \psi_2 \cos \psi_3 - \sin \psi_1 \sin \psi_3 \\ R_{12} &= -\cos \psi_1 \cos \psi_2 \sin \psi_3 - \sin \psi_1 \cos \psi_3 \\ R_{13} &= \cos \psi_1 \sin \psi_2 \\ R_{21} &= \sin \psi_1 \cos \psi_2 \cos \psi_3 + \cos \psi_1 \sin \psi_3 \\ R_{22} &= -\sin \psi_1 \cos \psi_2 \sin \psi_3 + \cos \psi_1 \cos \psi_3 \\ R_{23} &= \sin \psi_1 \sin \psi_2 \\ R_{31} &= -\sin \psi_2 \cos \psi_3 \\ R_{32} &= \sin \psi_2 \sin \psi_3 \\ R_{33} &= \cos \psi_2 \end{aligned} \right\} \quad (2)$$

$$R_{13}^2 + R_{23}^2 + R_{33}^2 = 1 \quad (3)$$

Fig. 2 においてねじれの無い回転を考えた時、 $\zeta = 0$  よる平面内に座標系の回転軸が存在し、その回転軸は部材座標系の原点  $O'$  を通る。さらにこの軸は  $z$  軸と、原点  $O'$  を通り  $x$  軸と平行な直線とを含む平面に直交している。そのような回転軸上の点  $P$  の部材座標は  $\alpha$  をパラメータにして  $(\xi_p, \eta_p, \zeta_p) = (-a \sin \psi_1, a \cos \psi_1, 0)$

で与えられる。この点の変位は部材座標原点の変位と等しいはずであるから次式が成り立つ。

$$\begin{bmatrix} R_{11}, R_{12}, R_{13} \\ R_{21}, R_{22}, R_{23} \\ R_{31}, R_{32}, R_{33} \end{bmatrix} \begin{pmatrix} \xi_p \\ \eta_p \\ \zeta_p \end{pmatrix} = \begin{pmatrix} \xi_p \\ \eta_p \\ \zeta_p \end{pmatrix} \quad (5)$$

式(2)と式(4)を式(5)に代入すると次の条件が得られる。

$$\sin(\psi_1 + \psi_3) = 0, \cos(\psi_1 + \psi_3) = 1 \quad (6)$$

つまり、ねじれ角  $\varphi$  は、次式のように定義できる。

$$\varphi = \psi_1 + \psi_3 \quad (7)$$

したがって、式(2)の座標変換は、式(7)のねじれ角  $\varphi$  を導入して変形し、 $R_{13}, R_{23}, R_{33}$  を用いて他の行列要素の  $\psi_1, \psi_2$  を消去すると次のようになります。

$$\left. \begin{aligned} R_{11} &= [1 - R_{13}^2 / (1 + R_{33})] \cos \varphi - [R_{13} R_{23} / (1 + R_{33})] \sin \varphi \\ R_{12} &= -[R_{13} R_{23} / (1 + R_{33})] \cos \varphi - [1 - R_{13}^2 / (1 + R_{33})] \sin \varphi \\ R_{21} &= -[R_{13} R_{23} / (1 + R_{33})] \cos \varphi + [1 - R_{13}^2 / (1 + R_{33})] \sin \varphi \\ R_{22} &= [1 - R_{23}^2 / (1 + R_{33})] \cos \varphi + [R_{13} R_{23} / (1 + R_{33})] \sin \varphi \\ R_{31} &= -R_{13} \cos \varphi - R_{23} \sin \varphi \\ R_{32} &= -R_{23} \cos \varphi + R_{13} \sin \varphi \end{aligned} \right\} \quad (8)$$

### 3. 変位成分表示

部材軸上の伸び変形とねじれ変形を扱うことにする。

いま、変形前における局所座標系の  $x$  軸(部材軸)上の点  $s$   $(0, 0, \alpha s)$  を考える。  $\alpha s$  は微小でありて原点とその点の間で部材軸は直線であると見なせるものとすると、この点の変形後の空間固定座標系上の位置  $(x_s, y_s, z_s)$  は、次式のように与えられる。

$$\left. \begin{aligned} x_s &= u_0 + u'_0 \alpha s \\ y_s &= v_0 + v'_0 \alpha s \\ z_s &= w_0 + (1 + w'_0) \alpha s \end{aligned} \right\} \quad (9)$$

変形後の長さを  $\delta s$  とすると次式が成り立つ。

$$\delta s = \alpha s \sqrt{(1 + w'_0)^2 + v'_0^2 + u'_0^2} = (1 + \varepsilon_{z0}) \alpha s \quad (10)$$

ここで  $\varepsilon_{z0}$  は、軸ひずみ  $\varepsilon$  の次のような関係が得られる。

$$\varepsilon_{z0} = w'_0 + \frac{1}{2}(u'_0^2 + v'_0^2) - \frac{1}{2}w'_0(w'_0^2 + u'_0^2 + v'_0^2) - \dots \quad (11)$$

また変形後のこの点  $s$  は、式(1)で表わすと

$$\left. \begin{aligned} x_s &= u_0 \\ y_s &= v_0 \\ z_s &= w_0 \end{aligned} \right\} + \left[ \begin{array}{c|c|c} k_{11}, & k_{12}, & k_{13} \\ k_{21}, & k_{22}, & k_{23} \\ k_{31}, & k_{32}, & k_{33} \end{array} \right] \left[ \begin{array}{c|c} 0 \\ 0 \\ \delta s \end{array} \right] \quad (12)$$

となるので、式(12)に式(10)を代入し式(9)と比較すると次のようないくつかの関係式が得られる。

$$\left. \begin{aligned} k_{13} &= u'_0 / (1 + \varepsilon_{z0}) \\ k_{23} &= v'_0 / (1 + \varepsilon_{z0}) \\ k_{33} &= (1 + w'_0) / (1 + \varepsilon_{z0}) \end{aligned} \right\} \quad (13)$$

次に、部材軸のねじれ変形によりそり度位  $w_w$  が生じ、この度位がそり関数  $w(\xi, \eta)$  とねじれ率  $\varphi^*$  の積で表わせるものとする。つまり、

$$w_w = -w \cdot \varphi^* \quad (14)$$

ねじれ率  $\varphi^*$  は、式(1)の座標変換を考慮すると

$$\varphi^* = \sum_i k_{1i} k_{2i} \quad (15)$$

で与えられる。ここに  $\xi$  は  $x$  軸に関する微分を表わす。

したがって、式(15)に式(8)を代入するとねじれ率  $\varphi^*$  は次式のように与えることができる。

$$\varphi^* = \varphi' + (k_{13}' k_{23} - k_{13} k_{23}') / (1 + k_{33}) \quad (16)$$

#### 4. 度位行列

いま、変形前の部材座標を  $(\xi_0, \eta_0, \zeta_0)$ 、変形後の同じ点の部材座標を  $(\xi_1, \eta_1, \zeta_1)$  とすると、任意点の度位  $(u, v, w)$  は、式(1)より次式で与えられる。

$$\left. \begin{aligned} u &= u_0 \\ v &= v_0 \\ w &= w_0 \end{aligned} \right\} + \left[ \begin{array}{c|c|c} k_{11}, & k_{12}, & k_{13} \\ k_{21}, & k_{22}, & k_{23} \\ k_{31}, & k_{32}, & k_{33} \end{array} \right] \left[ \begin{array}{c|c} \xi_1 \\ \eta_1 \\ \zeta_1 \end{array} \right] - \left[ \begin{array}{c|c} \xi_0 \\ \eta_0 \\ \zeta_0 \end{array} \right] \quad (17)$$

変形後部材の断面形状が保持されるものとし、さらにそり度位  $w_w$  が生じるものとすると

$$\xi_1 = \xi_0.$$

$$\xi_1 = \xi_0$$

$$\xi_1 = \xi_0 + w_w$$

で表わせると、 $\xi_0 = 0, \xi_1 = \xi, \zeta_0 = \zeta$  と書くと、式(17)は次式のように書き直すことができる。

$$\left. \begin{aligned} u &= u_0 \\ v &= v_0 \\ w &= w_0 \end{aligned} \right\} + \left[ \begin{array}{c|c|c} k_{11}-1, & k_{12}, & k_{13} \\ k_{21}, & k_{22}-1, & k_{23} \\ k_{31}, & k_{32}, & k_{33} \end{array} \right] \left[ \begin{array}{c|c} \xi \\ \zeta \\ w_w \end{array} \right] \quad (18)$$

この行列式は、式(13), 式(16)と式(8)で与えられる厳密な度位行列である。

ところで、軸ひずみ  $\varepsilon_{z0}$  が微小ひずみの範囲、つまり、 $\varepsilon_{z0} \ll 1$  にあるものとすると式(3)と式(13)より次のようないくつかの近似式が得られる。

$$\left. \begin{aligned} k_{13} &\approx u'_0 \\ k_{23} &\approx v'_0 \\ k_{33} &\approx 1 - \frac{1}{2}(u'_0^2 + v'_0^2) \end{aligned} \right\} \quad (19)$$

また、式(16)のねじれ率  $\varphi^*$  は、次式で与えられる。

$$\varphi^* \approx \varphi' + \frac{1}{2}(u'_0 v'_0 - u'_0 v'_0) \quad (20)$$

したがって、式(19)の厳密な度位行列は、式(18)のねじれ角に関する  $\sin \varphi, \cos \varphi$  の級数展開を行ない、度位の3次以上の項を無視することにより次のようないくつかの近似度位行列になる。

$$\left. \begin{aligned} u &= u_0 - \frac{1}{2}(\varphi^2 + u'_0^2) \xi \\ &\quad - (\varphi + \frac{1}{2}u'_0 v'_0) \zeta - w_w u'_0 \varphi' \\ v &= v_0 + (\varphi - \frac{1}{2}u'_0 v'_0) \xi \\ &\quad - \frac{1}{2}(\varphi^2 + v'_0^2) \zeta - w_w v'_0 \varphi' \\ w &= w_0 - (u'_0 + v'_0 \varphi) \xi \\ &\quad - (v'_0 - u'_0 \varphi) \zeta - w_w \varphi' \end{aligned} \right\} \quad (21)$$

#### 5. 結論

薄肉断面部材の有限度位理論では、度位場の設定が重要であるが実際には種々の精度レベルの度位行列が見られる。ここでは Euler の方位角を利用して座標変換および度位行列を説明したが、微小ひずみ、有限度位の範囲において式(19)は、厳密性の高い結果を与えているものと思われる。また度位の2次項まで考慮した近似度位行列である式(21)は、より一般性のある式になっている。

#### 6. 文献

1) 西野・庵井・長谷川・奥村: 土木会論文集第25号, 1974

2) 前田・林: No.253, 1976 3) 年島・井浦: 従用: No.292, 1977

4) 関井・西野: No.317, 1982 5) 原島: 加厚、複雑構造